

BAB V

KESIMPULAN DAN SARAN

A. Kesimpulan

Hasil penelitian penapisan bakteri penghasil superoksid dismutase (SOD) dari air hutan mangrove Maron Edupark Semarang dapat disimpulkan bahwa :

Pertama, air hutan mangrove Maron Edupark Semarang terdapat isolat bakteri yang menghasilkan enzim superoksid dismutase (SOD).

Kedua, aktivitas enzim superoksid dismutase (SOD) tertinggi yaitu pada isolat bakteri AHM4 dengan persentase SOD sebesar 80,39%.

Ketiga, hasil identifikasi molekuler pada isolat bakteri AHM4 menunjukkan bahwa nama isolat bakteri adalah *Bacillus cereus* dengan homologi 99%.

B. Saran

Bakteri *Bacillus cereus* merupakan bakteri patogen yang berbahaya apabila terdapat dalam tubuh sehingga perlu dilakukan isolasi gen SOD yang kemudian dapat dilakukan kloning agar tidak berbahaya dalam tubuh dan dapat dimanfaatkan dan dilakukan pengujian keamanan pemakaian hasil kloning tersebut pada manusia.

DAFTAR PUSTAKA

- Alimuddin A. 2005. *Mikrobiologi Dasar*. Jilid I. Cet. 1. Makassar: UNM Press.
- Bojadzhieva I, Elka E. 2005. Characteristics of bacterial strain superoxide dismutase producer, isolated from Bulgarian Thermal Spring. *Journal of Culture Collections* 4: 61-67.
- Cowan J. 2004. *Education for value. British Journal of Educational Technology* 35 : 747–759.
- Dahuri R, Rais J, Ginting SP, Sitepu. 2008. *Pengelolaan Sumber Daya Wilayah Pesisir dan Lautan Secara Terpadu*. Jakarta: PT. Pradnya Paramita..
- Das S, Lyla PS, Khan SA. 2006. Marine Microbial Diversity and Ecology Importance ad Future Perspective. *General Article*. 90: 10.
- Dias ACF *et al.* 2009. Diversity and biotechnological potential of culturable bacteria from Brazilian Mangrove Sediment. *World J. Microb. Biot.* 3(7): 1305–1311.
- Dourado MN *et al.* 2012. The diversity of endophytic methylotrophic bacteria in an oil-contaminated and an oil-free mangrove ecosystem and their tolerance to heavy metals. *Biotechnol. Res. Int.* DOI: 10.1155/2012 /759865.
- Etnize. 2010. Pengertian Air. <http://etnize.wordpress.com>. [11 Okt 2018].
- Haryono, Noor M, Haris S, Muhrizal S. 2013. *Lahan Rawa Penelitian dan Pengembangan*. Jakarta: Badan Penelitian dan Pengembangan Pertanian.
- Hrenovic J, Damir V, Bozidar S. 2003. Influence of nutrients and salinity on heterotrophic and coliform bacteria in the shallow, karstic zrmanja estuary (eastern adriatic sea). *Cevre Dergisi*. 46: 29 - 37.
- Hseu YC *et al.* 2008. Antioxidant activities of *Toona Sinensis* leaves extracts using different antioxidant mode. *Food and Chemical Toxicology* 46: 105–114.
- Jawetz, Melnick. *et al.* 2012. *Mikrobiologi Kedokteran*, Alih Bahasa Aryandhito Widhi Nugroho *et al.* editor edisi Bahasa Indonesia Adisti Adityaputri Edisi 25. Jakarta: EGC.
- Karuniastuti N. 2013. Peranan hutan mangrove bagi lingkungan hidup. *Forum Manajemen* 6(1).
- Kathiresan K, Bingham BL. 2001. Biology of mangrove and mangrove ecosystems. Centre of Advanced Study in Marine Biology, Annamalai

- University. Huxley College of Environmental Studies, Western Washington University. India: Annamalai.
- Koolman J, Roehm KH. 2005. *Color Atlas of Biochemistry*. ed. ke-2. Stuttgart: Georg Thieme Verlag.
- Kurniawan A. et al. 2018. Bakteri selulolitik dari serasah daun hutan mangrove. *Samakia* 9(1).
- Leng ser et al. 2016. *Streptomyces malaysiense* sp a novel Malaysian mangrove soil actinobacterium with antioxidative activity and cytotoxic potential against human cancer cell lines. *Scientific Reports*, 6: 24247.
- Lidya B. Djenar NS. 2000. *Dasar Bioproses*. Jakarta: Direktorat Jendral Pendidikan Tinggi.
- Lyla PS. Ajmal KS. 2006. Marine microbial diversity and ecology: importance and future perspectives. *Current Science*. 90:1325-1335.
- Mahmudi M. 2008. Laju dekomposisi serasah mangrove dan kontribusinya terhadap nutrien di hutan mangrove reboisasi. *Jurnal Penelitian Perikanan* 11(1):107-117.
- Mudatsir. 2013. Uji mikrobiologi air sumur gali berdasarkan sumber pencemar di Desa Limphok dan Beurabung Kecamatan Darussalam Aceh Besar. *Jurnal Kedokteran Syah Kuala*, 10 (1).
- Narita et al. 2012. Analisis Bioinformatika Berbasis WEB untuk Eksplorasi Enzim Kitosanase Berdasarkan Kemiripan Sekuens. *Jurnal Al-Azhar Indonesia Sains dan Teknologi*. Vol. 1(4) : 197-203.
- Nur et al. 2017. Skrining aktivitas antioksidan, *antiaging* dan penghambatan tyrosinase dari ekstrak etanolik dan etil asetat daging buah dan kulit buah langsat (*Lansium domesticum* Corr) secara in vitro. *Traditional Medicine Journal*, 22: 63-72.
- Parwanayoni NMS. 2008. Pergantian populasi bakteri heterotrof, algae, dan protozoa, di Lagoon BTDC unit penanganan limbah Nusa Dua Bali. *Jurnal Bumi Lestari* 8(2): 182.
- Pietta PG. 2000. Flavonoids as antioxidants. *Journal of Natural Product*, 63(7): 1035-1042.
- Pitayu LA. 2007. Penapisan aktivitas superoksida dismutase dan identifikasi spesies dengan metode 16S r-DNA dari bakteri asal Indonesia [Skripsi].

Bandung: Fakultas Sains dan Teknologi Farmasi, Institut Teknologi Bandung.

Pratami HA. 2013. Identifikasi mikroorganisme pada tangan tenaga medis dan paramedis di unit perinatologi Rumah Sakit Abdul Moeloek Bandar Lampung [Skripsi]. Bandar Lampung: Fakultas Kedokteran, Universitas Lampung.

Pratami HA. 2013. Identifikasi mikroorganisme pada tangan tenaga medis dan paramedis di unit perinatologi rumah sakit Abdul Moeloek Bandar Lampung [Skripsi]. Bandar Lampung: Fakultas Kedokteran, Universitas Lampung.

Purnobasuki H. 2005. Tinjauan Perspektif Hutan Mangrove. Surabaya: Penerbit Airlangga University Press.

Rahman H et al. 2012. Uji aktivitas enzim superoksida dismutase dalam ekstrak mesokarp buah merah (*Pandanus conoideus* Lamarck) menggunakan Densitometri Citra Elektroforegram. *Acta Pharmaceutical Indonesia* 37(2): 2012 – 43.

Rhie et al. 2001. Aging and photoaging dependent changes of enzymic and nonenzymic antioxidants in the epidermis and dermis of human skin in vivo. *J Invest Dermatol.*

Sabar R. 2007. *Pengantar Metodologi Penelitian*. Kudus: Fakultas Keguruan dan Ilmu Pendidikan, Universitas Muria Kudus.

Santos R et al. 2001. Essential role of superoxide dismutase on the pathogenecity of *erwinia chrysanthemi* strain 3937. *MPMI* 14(6): 758-767.

Santos WG et al. 2000. Purification and characterization of an iron superoxide dismutase and catalase from the sulfate reducing bacterium *Desulfovibrio gigas*. *J. Bacteriol* 183(3): 796-804.

Sinaga SS, Boedi H, Supriharyono. 2017. Deskripsi Kawasan Hutan Mangrove Berdasarkan Sifat Biofisik dan Faktor Sosial di Maroon Mangrove Edupark Desa Tugurejo Semarang Jawa Tengah. *Journal of Maquares*. 6: 384-392.

Savira M. 2011. *Bakteri anaerob*. Riau: Departemen Mikrobiologi Fakultas Kedokteran, Universitas Riau.

Subagiyo, Muhammad SRD, Wilis AS. 2017. Potensi ekosistem mangrove sebagai sumber bakteri untuk produksi protease, amilase, dan selulase. *Jurnal Kelautan Tropis* 20: 106-111.

- Sugiyono. 2011. *Metode Penelitian Kuantitatif, Kualitatif, dan R&D*. Bandung: CV Alfabeta.
- Supriharyono. 2000. *Pelestarian dan Pengelolaan Sumberdaya Alam Wilayah Pesisir Tropis*. Jakarta: Gramedia Pustaka.
- Tandon VR *et al*. 2005. Antioxidants and cardiovascular health. JK Science 7: 61-64.
- Thermo scientific. 2009. *Cell Lysis Technical Handbook*. United States: Thermo Fisher Scientific, Inc. version 2.
- Winarsi H. 2007. Antioksidan Alami dan Radikal Bebas. Ed. V. Yogyakarta: Kanisius. hal. 11-2, 15-6, 18, 78, 147-8.
- Yahya *et al*. 2014. Karakteristik bakteri di perairan mangrove pesisir keraton Pasuruan. *Ilmu Pengetahuan* 19: 35-42.
- Zaidin NHAN. 2016. Water quality characteristics in different mangrove disturbance levels Matang Mangrove Forest reserve Peninsular Malaysia.
- Zamroni Y, Rohyani IS. 2008. Produksi serasah hutan mangrove di perairan Pantai Teluk Sepi, Lombok Barat. *Biodiversitas*. 9(4): 284-287.
- Zhao C, Wright KD. 2010. Liver X receptor in cholesterol metabolism. *Journal of Endocrinology* 204: 233–240.

L

A

M

P

I

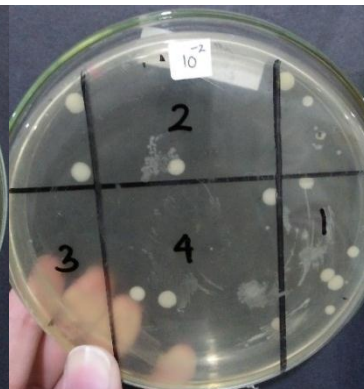
R

A

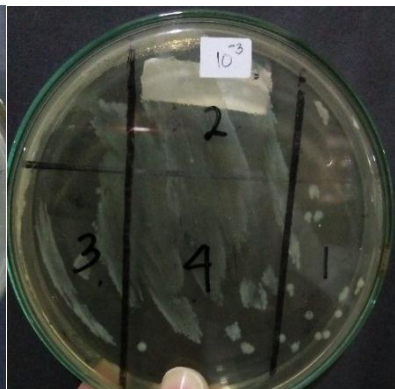
N

Lampiran 1. Sampel Air Hutan Mangrove**Lampiran 2. Hasil Isolasi Bakteri**

Pengenceran 10^{-1}

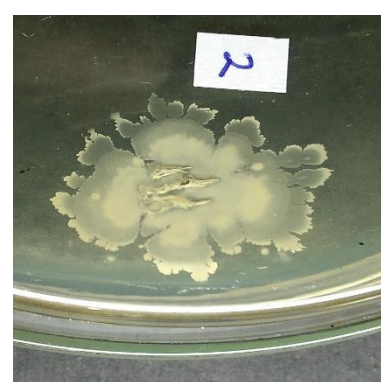


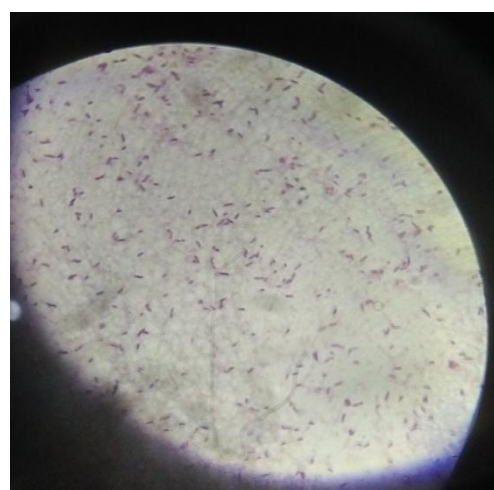
Pengenceran 10^{-2}



Pengenceran 10^{-3}

Lampiran 3. Foto Hasil Identifikasi Bakteri secara Makroskopis

Koloni 1		Koloni 2	
Koloni 3		Koloni 4	
Koloni 5			

Lampiran 4. Isolat AHM4 yang Dikirim ke Macrogen**Lampiran 5. Foto Identifikasi dengan Pewarnaan Gram**

Lampiran 6. Hasil Identifikasi Molekuler dengan PCR 16S rDNA

Standard ID



16S rRNA service report

Order Number : 190527FN-021
Sample name : 4D_contig_1

Information

Primer Information

Sequencing Primer Name	Primer Sequences	PCR Primer Name	Primer Sequences
785F 5' (GGA TTA GAT ACC CTG GTA) 3'		27F 5' (AGA GTT TGA TCM TGG CTC AG) 3'	
907R 5' (CCG TCA ATT CMT TTR AGT TT) 3'		1492R 5' (TAC GGY TAC CTT GTT ACG ACT T) 3'	

Accession	Description	Subject					Score		Identities	
		Length	Start	End	Coverage	Bit	E-Value	Match/Total	Pct.(%)	
NR_074540.1	Bacillus cereus	1512	28	1503	97	2675	0.0	1467/1476	99	

Kingdom	Family	Genus	Species
Bacteria	Bacillaceae	Bacillus	Bacillus cereus



Characterization

Bacilli cause an array of infections from ear infections to meningitis, and urinary tract infections to septicemia. Mostly they occur as secondary infections in immunodeficient hosts or otherwise compromised hosts. They may exacerbate previous infection by producing tissue-damaging toxins or metabolites that interfere with treatment.

Bacillus cereus causes two types of food poisoning in humans including diarrhoeal syndrome and emetic syndrome. Food poisoning results from its production of enterotoxins in the gastrointestinal tract. The dosage of ingested B. cereus spores leading to diarrhoeal syndrome is 1057107 g 1 of ingested food, and 1057108 g 1 of ingested food for emetic syndrome. Enterotoxins associated with diarrhoeal syndrome are unresistant to the acidic conditions of the stomach.

Lampiran 7. Hasil Identifikasi Bakteri Penghasil SOD dengan Uji Sekuensing 16S rDNA

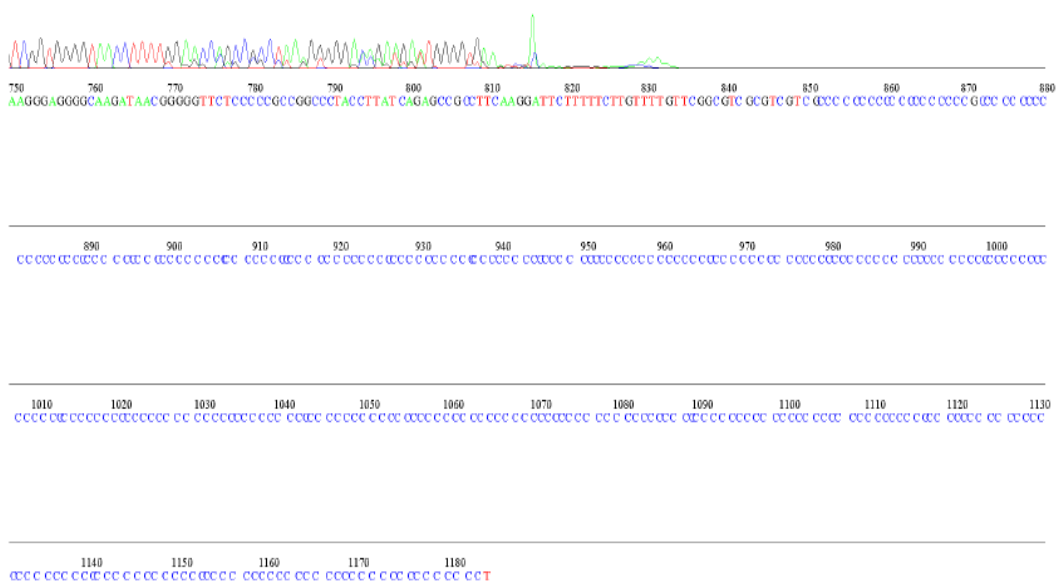
Name	Length	Start	End	Description	Lin AC	Length	Start	End	Bit	Raw	E-valu	Match	Total	Pct(%)
4D_contig_1	1501	25	1499	Bacillus cereus strain ATCC 1457	http://NR_07454	1512	28	1503	2675	1448	0.00	1467	1476	99 Plus/Plus
4D_contig_1	1501	25	1499	Bacillus cereus strain CCM 2010	http://NR_11571	1535	21	1496	2675	1448	0.00	1467	1476	99 Plus/Plus
4D_contig_1	1501	25	1499	Bacillus cereus ATCC 14579, con	http://AE016877, 5411809	9215	10690	2675	1448	0.00	1467	1476	99 Plus/Plus	
4D_contig_1	1501	25	1499	Bacillus cereus strain IAM 12605	http://NR_11552	1486	1	1476	2675	1448	0.00	1467	1476	99 Plus/Plus
4D_contig_1	1501	26	1499	Bacillus cereus strain NBRC 1531	http://NR_11263	1476	1	1475	2673	1447	0.00	1466	1475	99 Plus/Plus
4D_contig_1	1501	25	1497	Bacillus cereus strain JCM 2152	http://NR_11326	1474	1	1474	2671	1446	0.00	1465	1474	99 Plus/Plus
4D_contig_1	1501	25	1499	Bacillus wiedmannii strain FSL	http://KU198626,	1540	21	1496	2669	1445	0.00	1466	1476	99 Plus/Plus
4D_contig_1	1501	25	1495	Bacillus cereus strain ATCC 1457	http://NR_11458	1482	11	1482	2667	1444	0.00	1463	1472	99 Plus/Plus
4D_contig_1	1501	25	1499	Bacillus thuringiensis strain ATCC 13	http://CP021061, 5427594	361609	363084	2658	1439	0.00	1464	1476	99 Plus/Plus	
4D_contig_1	1501	25	1499	Bacillus thuringiensis strain ATCC 13	http://NR_12176	1544	18	1493	2652	1436	0.00	1463	1476	99 Plus/Plus

Lampiran 8. Sampel AHM4 dengan Forward

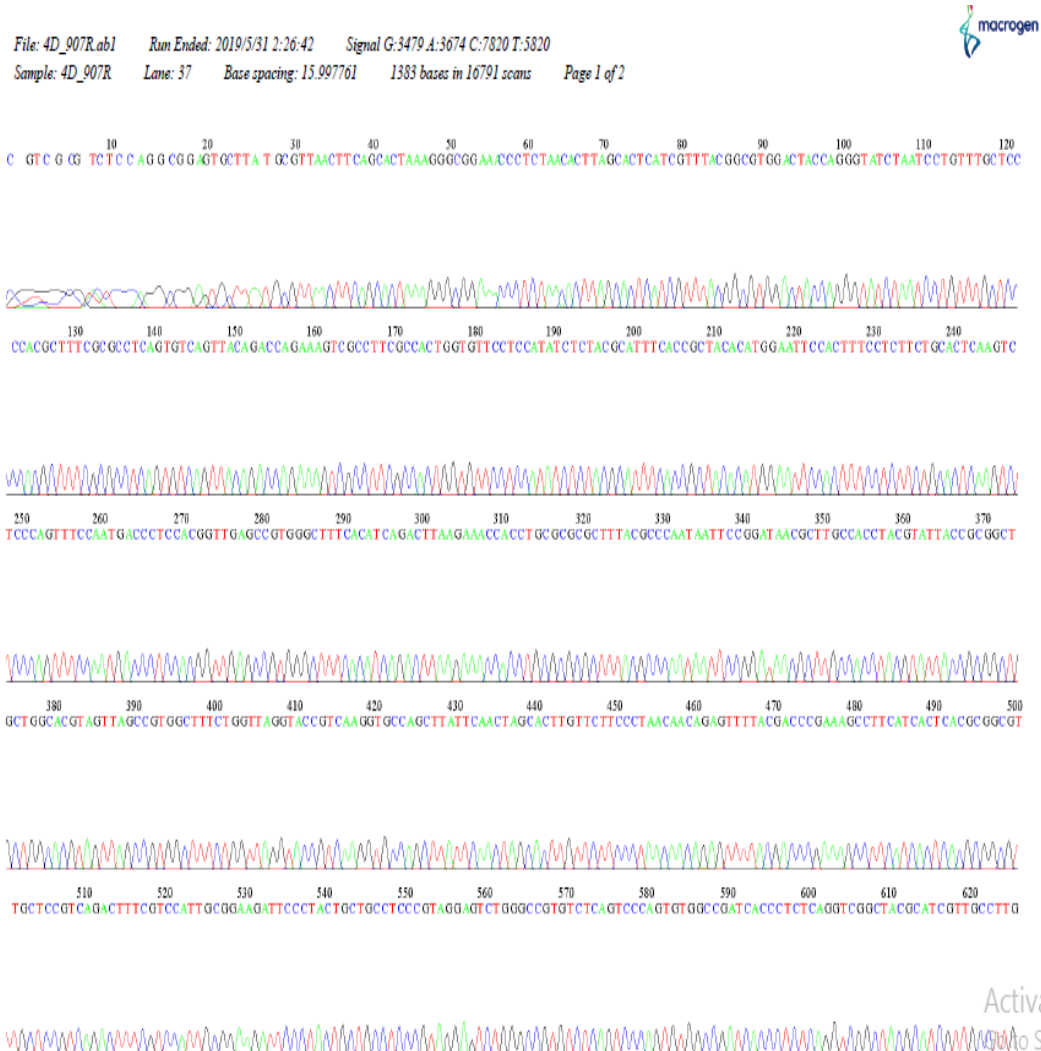


File: 4D_785F.ab1 Run Ended: 2019/5/31 2:26:42 Signal G:4144:A:4026 C:5526 T:4313
 Sample: 4D_785F Lane: 39 Base spacing: 16.053286 1184 bases in 14193 scans Page 2 of 2

TCGGTGGGTTAACCTTTGGAAACCCGCCCTTAAGGGGGACAGAAGAATGGGTGGAATCTAAGGGGGAACATAAAAACATTTCTGTTTACCCGGGTTGGGGGGTTAACCC

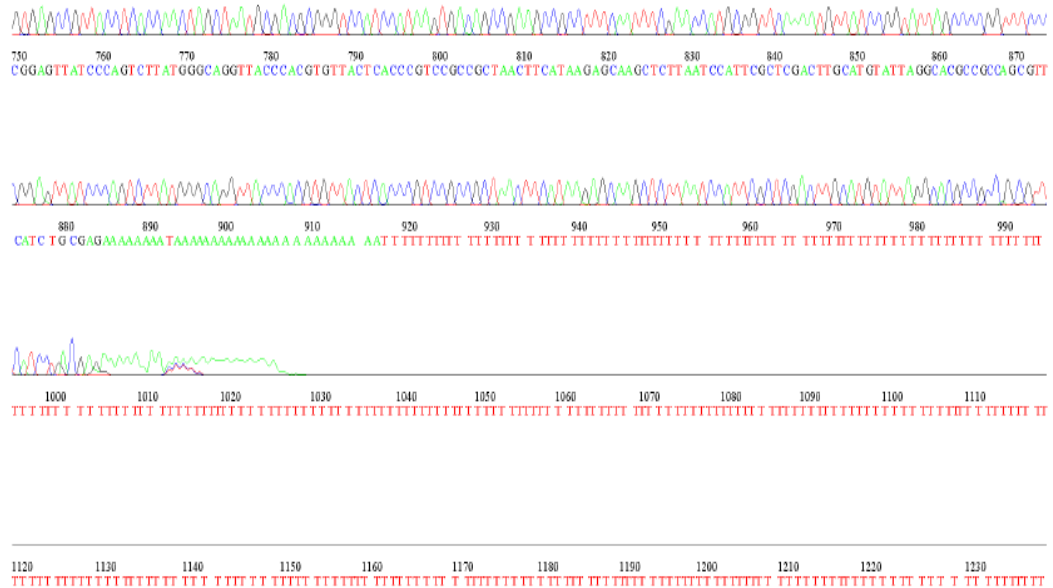


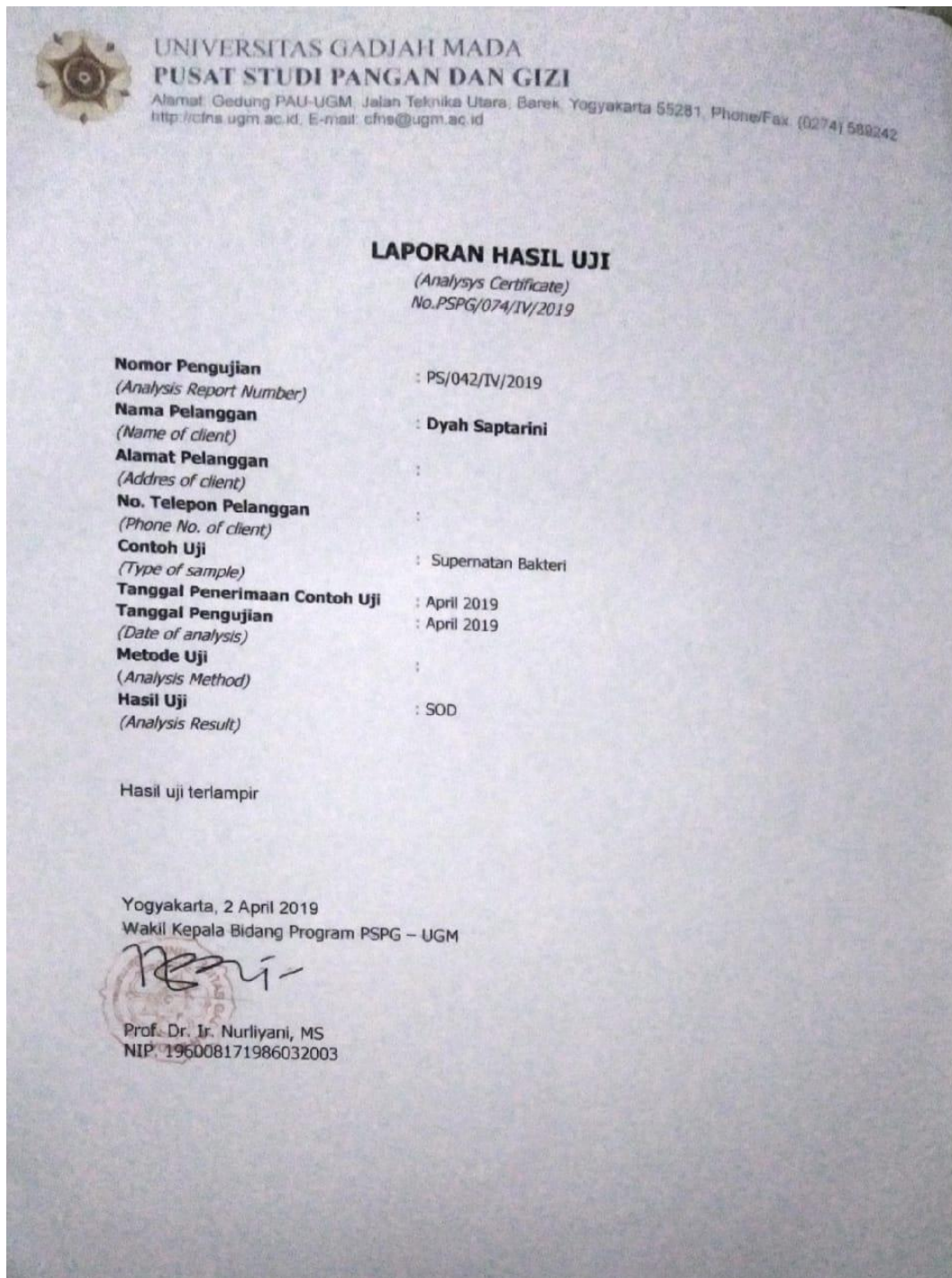
Lampiran 9. Sampel AHM4 dengan Reverse



File: 4D_907R.ab1 Run Ended: 2019/5/31 2:26:42 Signal G:3479 A:3674 C:7820 T:5820
Sample: 4D_907R Lane: 37 Base spacing: 15.997761 1383 bases in 16791 scans Page 2 of 2

630 640 650 660 670 680 690 700 710 720 730 740
GTGAGCCGTTACCTCACCAACTAGCTAATGCAGCCGGGTCCATCCATAAGTGACAGCGAAAGCCGCCCTTCAATTCTGAACCATGCGGTTCAAATGTTATCCGGTATTAGCCCCGGTTCC



Lampiran 10. Tanda Bukti Uji Aktivitas Superoksida Dismutase

Lampiran 11. Hasil Uji Aktivitas Superoksid Dismutase

No	Kode	Abs	SOD %
1	1d	0,054	56,86
2	2d	0,058	49,02
3	3d	0,049	66,67
4	4d	0,042	80,39 ✓
5	5d	0,060	45,10
6	1T	0,045	74,51 ✓
7	2T	0,053	58,82
8	3T	0,057	50,98
9	4T	0,060	45,10
10	5T	0,051	62,75
11	B3	0,075	15,69
12	B6	0,070	25,49
13	A3	0,080	5,88
14	A6	0,078	9,80
		1	0,149
		2	0,032
		3	0,098

Lampiran 12. Alat Praktikum



Vortex



Inkas



Inkubator



Oven



Autoclave



Vortex



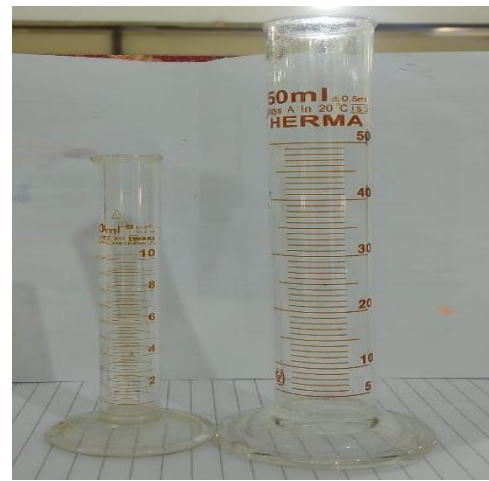
Jarum Ose dan Jarum Ent



Lampu Spiritus



Micropipet



Gelas Ukur



Beker Gelas



Mikroskop Binokuler



Alat sentrifugasi



Sonikator



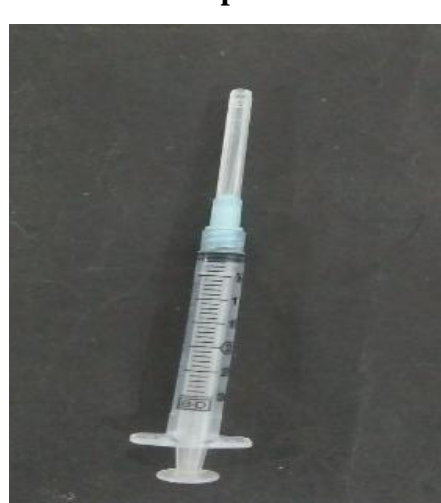
Pipet volume



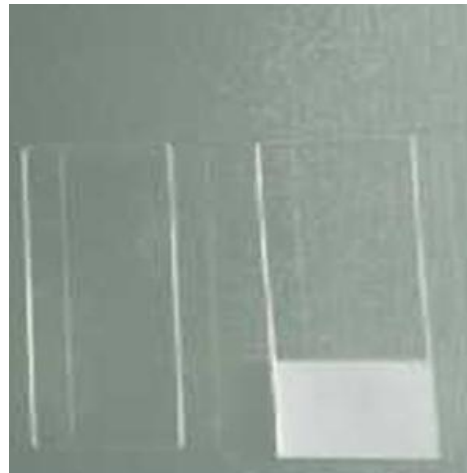
Kapas lidi



Batang pengaduk



Spuit 1 ml



Objek glass



Mikrot tip



Timbangan analitik



Ice box



Gel Ice**Rak tabung reaksi****Mikrotube****Cawan petri disposable****Lampiran 13. Perhitungan Persentase SOD**

Keterangan : Blank 1 = 0,149

$$\text{Blank 2} = 0,032$$

$$\text{Blank 3} = 0,098$$

$$\text{Rumus : \% SOD : } \frac{(A \text{ blank 1} - A \text{ blank 3}) - (A \text{ sampel} - A \text{ blank 2})}{A \text{ blank 1} - A \text{ blank 3}} \times 100\%$$

$$1. \text{ Isolat AHM1 : } \frac{(0,149 - 0,098) - (0,054 - 0,032)}{0,149 - 0,098} \times 100\%$$

$$: 56,86 \%$$

$$2. \text{ Isolat AHM2 : } \frac{(0,149 - 0,098) - (0,058 - 0,032)}{0,149 - 0,098} \times 100\%$$

$$: 49,02 \%$$

$$3. \text{ Isolat AHM3 : } \frac{(0,149 - 0,098) - (0,049 - 0,032)}{0,149 - 0,098} \times 100\%$$

$$: 66,67 \%$$

$$4. \text{ Isolat AHM4 : } \frac{(0,149 - 0,098) - (0,042 - 0,032)}{0,149 - 0,098} \times 100\%$$

$$: 80,39 \%$$

$$5. \text{ Isolat AHM5 : } \frac{(0,149-0,098)-(0,060-0,032)}{0,149-0,098} \times 100\%$$

: 45,10 %

Lampiran 14. Komposisi dan Pembuatan Media

1. Brain Heart Infusion (BHI)

Komposisi :	Sari otak anak sapi	12	gram
	Sari jantung sapi	5	gram
	Proteose pepton	10	gram
	Bacto dextrose	2	gram
	NaCl	5	gram
	Dinatrium fosfor	2,5	gram
	Bacto agar	15	gram
	Aquadestilata	ad 1 L	pH = 7,4

Cara Pembuatan

Reagen-reagen di atas dilarutkan dalam aquadestillata sebanyak 1000 mL, dipanaskan sampai larut sempurna, kemudian disterilkan dengan autoklaf pada suhu 121°C selama 15 menit dan dituangkan dalam cawan petri (Bridson 1998).

2. Nutrient Agar (NA)

Komposisi :	Beef extract 3 g
	Pepton 5 g
	Agar 15 g
	Akuades ad 1000 ml

Cara Pembuatan

Akuades sebanyak 100 ml dibagi menjadi dua, satu bagian untuk melarutkan *Beef extract* dan peptone dan sebagian lagi untuk melarutkan agar. Agar dilarutkan pada sebagian air kemudian diaduk. Akuades sebagian digunakan untuk melarutkan pepton dan *beef extract*. Bahan yang sudah larut dituangkan ke larutan agar dan diaduk sampai homogen, kemudian dilakukan pengukuran pH media dengan mencelupkan kertas

pH indikator. pH yang belum netral dapat ditambahkan HCl/NaOH sampai netral. Media yang larut dimasukkan ke dalam labu Erlenmeyer dan disterilisasi dengan autoklaf dengan suhu 121°C selama 15 menit. Media steril dituangkan ke cawan petri steril secara aseptis.

Lampiran 15. Informasi PCR 16S rDNA dari Macrogen

16S rDNA region Sequencing Analysis

PCR machine: DNA Engine Tetrad 2 Peltier Thermal Cycler (BIO-RAD)
 PCR product purification: multiscreen filter plate (Millipore Corp.)
 Sequencing Kit : BigDye(R) Terminator v3.1 Cycle Sequencing Kit (Applied Biosystems)
 Sequencer: ABI PRISM 3730XL Analyzer (96 capillary type)

Information

Primer Information

PCR Primer Name Primer Sequences
 27F 5' (AGA GTT TGA TCM TGG CTC AG) 3'
 1492R 5' (TAC GGY TAC CTT GTT ACG ACT T) 3'

Sequencing Primer Name Primer Sequences
 785F 5' (GGA TTA GAT ACC CTG GTA) 3'
 907R 5' (CCG TCA ATT CMT TTR AGT TT) 3'

Method

The primers 27F 5' (AGA GTT TGA TCM TGG CTC AG) 3' and 1492R 5' (TAC GGY TAC CTT GTT ACG ACT T) 3' were used for the PCR. The PCR reaction was performed with 20 ng of genomic DNA as the template in a 30 μ l reaction mixture by using a *EF-Tag* (SolGent, Korea) as follows: activation of Taq polymerase at 95 °C for 2 minutes, 35 cycles of 95 °C for 1 minute, 55 °C, and 72 °C for 1 minute each were performed, finishing with a 10-minute step at 72 °C. The amplification products were purified with a multiscreen filter plate (Millipore Corp., Bedford, MA, USA). Sequencing reaction was performed using a PRISM BigDye Terminator v3.1 Cycle sequencing Kit. The DNA samples containing the extension products were added to Hi-Di formamide (Applied Biosystems, Foster City, CA). The mixture was incubated at 95 °C for 5 min, followed by 5 min on ice and then analyzed by ABI Prism 3730XL DNA analyzer (Applied Biosystems, Foster City, CA).